

〈表面处理技术译丛〉

# 镀层的耐腐蚀试验

张绍恭 孙旭輝 編

上海市科学技术編譯館

# 幾层的寂寞世界

◎ 雷平阳

（原刊于《读书》2013年第1期）

（本文系“读书·中国作家观察”系列之三，总第3期）

表面处理技术译丛  
镀层的耐腐蚀试验

张绍恭 孙旭辉 编

\*

上海市科学技术编译馆出版  
(上海南昌路59号)

商务印书馆上海厂印刷 新华书店上海发行所发行

\*

开本 787×1092 毫米 1/16 印张 6 1/2 字数 200,000  
1965年7月第1版 1965年7月第1次印刷  
印数 1—5,300

编号 15·298 定价(科七) 0.95 元

# 目 录

1. 电镀层的腐蚀試驗 ..... [加拿大] F. L. La Que ..... 1
2. 电镀技术中的几种腐蚀試驗方法 ..... [西德] K. Müller ..... 9
3. 腐蚀理論与加速試驗方法 ..... [美国] L. Schlosseng ..... 14
4. 裝飾性鍍层加速腐蝕試驗的評价 ..... [英國] J. Edwards 等 ..... 21
5. 盐水噴霧試驗 ..... [西德] A. Kutzelnigg ..... 33
6. CASS 試驗法 ..... [美國] G. L. Sukes ..... 37
7. 关于以氯化銅改良的醋酸盐水噴霧的經驗 ..... [美国] C. F. Nixon 等 ..... 43
8. 汽車零件耐腐蝕性能改进經驗的进展报道 ..... [美国] J. D. Thomas 等 ..... 48
9. 二氧化硫試驗 ..... [英國] J. Edwards ..... 54
10. 二氧化硫試驗条件与設備 ..... [英國] J. Edwards ..... 59
11. Corrodkote 試驗法 ..... [荷兰] J. M. Odekerken ..... 64
12. Corrodkote 試驗法的应用經驗 ..... [美国] D. M. Bigge ..... 65
13. 美国的裝飾性鍍鉻 Corrodkote 試驗試行標準 ..... 70
14. 鎳-鉻鍍层的驗收要求 ..... [美国] W. G. L. Miller ..... 72
15. 鋼上鋅和鎔鍍层在自然工业大气中室外暴露試驗的比較 ..... [波兰] T. Biestek ..... 78
16. 手表零件電 ..... [法國] P. Renaud ..... 83
17. 鍍层在大 ..... 强 ..... 91
18. 鍍层在化 ..... 强 ..... 102

# 电 鍍 层 的 腐 蝕 試 驗

[加拿大] F. L. La Que

鍍层的最重要特性，是在阻止其它金属腐蚀的同时，保持本身不受实质上的损坏。因此不难理解，腐蚀試驗在电鍍工业的发展和鍍层的改进中为什么具有如此重大的作用。当腐蚀試驗应用于电鍍問題时，由于影响因素很多而使之复杂化了。其中之一是鍍层金属与下面金属所形成的电偶作用。另一是基体金属的腐蚀，因为它能渗出腐蚀产物而使鍍层毀損或破坏其外观。基体金属或鍍层金属的腐蚀产物，对它們相互之間的进一步腐蚀也有复杂的影响。

通过在假定能代表鍍层必須經受的环境的一种选定环境中进行暴露的方法，是估价鍍层防护值的通常实践。在这种情况下，解釋試驗的結果就成为更困难的問題，因为鍍层的品性往往是参照鍍层下面的金属所发生的情况来闡釋，而不是按照鍍层本身腐蚀的性质和范围而定。疑問往往在于：发生在鍍层孔隙或間断处的基体金属腐蚀是否一开始就存在，抑或基体金属的腐蚀只是在由于鍍层腐蚀而使之裸露后才开始。假如得出的結論是后者，则出現的另一个問題是在鍍层损坏的速度和形式方面，試驗环境能在多大程度上正确地代表实际使用环境。很明显，这是研究鍍层加速試驗的根本性問題。加速試驗对于檢驗、特別是对于研究工作的有用程度，必須根据試驗中损坏的形式和速度与通常或特定使用条件下损坏的形式和速度之間所存在的合理和可再現的相关程度而定。要說明通常使用与特定使用之間的差別，只須注意到冬天在底特律运行的汽車上的鍍层要求比一般汽車使用的要严格得多。

除了可用来估价鍍层质量的試驗以外，还有其他更科学的試驗法，能用来了解何以鍍层具有該項品性。在指导鍍层的改进方面，它們又比尝试法更有成效。

所 共有三类腐蚀試驗法，即：

- ... 小境中的試驗；
- 2. 加速試驗；
- 3. 了解鍍层何以具有該項品性的試驗。

## 自然环境中的試驗

用来試驗鍍层的自然环境，是指在于便利电鍍試样暴露的选定地点所遇到的大气。选定試驗地点的根据，通常系包括了寻找能合理代表鍍件使用环境的大气的愿望以及其他一系列有利因素的綜合。这些因素是：方便条件、安全条件和距离研究机关的远近。

希望能利用已长期地試驗了

这样，对于試驗地点大气腐蚀性比一般大气的恶劣程度已有某些印象。一种大气的腐蚀性大多决定于所有在污染物质的性质和数量。根据这一点，有海盐存在就視作海洋大气类。工业大气是以存在有硫化物、碳粒和灰分（有时还混有冬天防冻用食盐）为其特征。乡村大气并不是主要以接近农場和家畜为标志，而是以較少工业和海洋污染物质来确定。

由于大气污染的性质和范围不同，各种金属所受的程度都不相同，即使在同一方向上亦然。

例如，能加速锌腐蚀的硫化物，在铅上却能形成防护膜。其结果如图1所示，从而表明，从乡村大气转换至工业大气，铅的腐蚀可以降低，但锌的腐蚀却大大加快。

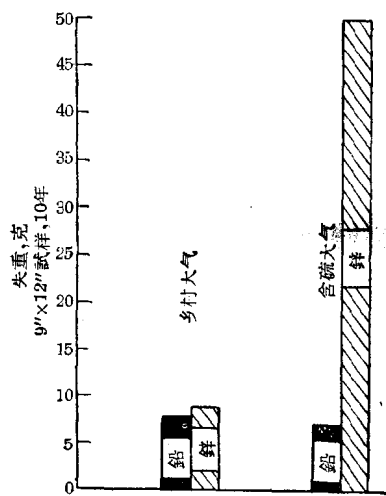


图1 大气中硫化物加速锌腐蚀和防护铅的影响

同样，工业大气中的二氧化硫对镍特别有害。在长期大气暴露试验中，发现纽约的含硫大气能显著地腐蚀镍，而加利福尼亚州的 La Jolla 的大量含盐大气则对之实际上没有影响。这些结果可参见表3的资料。

根据此项观察，很明显，使用二氧化硫或亚硫酸的加速试验，要比用中性或碱性盐的喷雾试验更可能产生由于镍镀层受侵蚀的损坏。后一种方法可能指明存在着的间断处、孔隙或晶格缺陷。镍的通常腐蚀是不太可能使得底下的金属裸露出来的。

由于钢铁的大气腐蚀是主要的考虑对象，所以很自然地用铁作为对不同地点大气腐蚀率进行分度的试验金属。此项试验包括了很多地点，若干典型结果如表1。试验金属为一种相当易于腐蚀的平炉铁，含有约4%铜。资料所表明的腐蚀率范围很广阔，这说明了要用“加速”试验所得的加速程度来确立“加速”试验性能和“自然”环境性能之间有意义的关系，是如何的不可能。

对比 Kure Beach 的两组试验的腐蚀率，可看出要阐明“海洋性”大气的含义是困难的。在 Kure Beach 的任何一组试验都可以合理地按其地点叫作“海洋性”。但离海洋较近的一组试验的大气，对铁腐蚀率却为 800 呎远的大气的十倍以上。

表1 不同地点的大气对平炉铁试样

( $2 \times 4 \times \frac{1}{8}$  吋) 的相对腐蚀率

地 点	大 气 类 型	平 均 失 重 (克/年)	相 对 腐 蚀 率
Khartoum (埃及)	干燥内陆	0.16	1
Abisco (瑞典北部)	未污染的	0.46	3
新加坡(马来西亚)	热带海洋性	1.36	9
Daytona Beach (佛罗里达)	乡村	1.62	11
State College (宾夕法尼亚)	乡村	3.75	25
South Bend (宾夕法尼亚)	城郊	4.27	29
Miraflore (运河区, 太平洋一边)	热带海洋性	4.5	31
Kure Beach, 离海洋 800 呎	海洋性	5.78	38
Sandy Hook (新泽西)	海洋, 半工业区	7.34	50
Kearny (新泽西)	工业区海洋	7.75	52
Vandergrift (宾夕法尼亚)	工业	8.34	56
匹兹堡(宾夕法尼亚)	工业	9.65	65
Frodingham (不列颠群岛)	工业	14.81	100
Daytona Beach (佛罗里达)	海洋	20.43	138
Kure Beach, 离海洋 80 呎	海洋	70.49	475

任何一个地点对铁的腐蚀率，还可以逐年在很大的范围内改变。人们已经观察到，在试样暴露开始时以及暴露以后不久的大气条件，能对其后的腐蚀有长时间的巨大影响。同一地点的大气的腐蚀率或者金属或镀层的耐腐蚀性，在不同的年份和试验开始时的大气条件下，可以在大范围内改变。它们与用于分度的金属、进入试验的年份和试验开始时的大气条件有关。

这些因素自然使得 ASTM B-3 委员会的工作复杂化。他们在不同地点进行了试验。当这一试验结果公布以后，将能提供不同地点之间和每个地点不同时间之间的大气腐蚀率变化的概况。但它未必能建立起任何一种适用于分度金属(钢和锌)的若干地点的腐蚀率绝对标尺，而并不考虑到其他许多金属或镀层对影响大气腐蚀因素的变化具有不同的反应。

自然大气暴露试验的主要优点是：

- 能在同一时间内和基本相同的条件下暴露

大量的試樣。这样，鍍层品性上的差异就能表明耐腐蚀性能的差异，而并不与試驗条件的差异有关。

2. 試驗只需最少的照管就能持續很长的时间。

3. 腐蝕的进展情況很容易用目觀檢查和用照相記錄下来。还可能对此項进展情况作定量的研究，只須在选定的暴露周期后，取出各批試樣来进行具体的檢查。

4. 选用的試驗位置，对于材料或鍍层将在其欲用于抵抗腐蝕的大气种类來說，即使不能具有典型性，也能够具有代表性。

自然大气暴露試驗的缺点是：

1. 腐蝕影响的严重性并不保持不变，因而在比較不同暴露周期或在不同時間內开始的試驗結果时会导致复杂性。

2. 单純在日光、雨、露、风以及大气內天然存在的腐蝕物质中的暴露，不能模拟在特殊使用中能影响腐蝕的全部因素的作用。例如，汽車保險杠的鍍层可从时而清洗和打蜡的防护作用中得到好处，但它会遭受磨蝕微粒（如由其他車輛所揚起的砂石）的破坏作用。在自然大气中的試驗，要考虑此項附加作用是困难的。

3. 在自然条件下进行的試驗，一般需要十分长的時間才能对檢驗和质量控制有用。这种試驗要滿足目前进行的許多研究是不够快的。因为人們期望能迅速地确定鍍层的变化結果以作进一步研究的指南，而自然条件下的試驗時間要慢得多。

4. 在一种自然大气中的品性变化，不能在另一种不同大气中重复得到。因此，根据特定大气中的試驗所获得的結論和采取的措施，在另一个比試驗环境可能更为重要的环境中就不能导致最佳的性能。例如，人們可以从 Kure Beach 的若干試驗中得出結論，认为鉻鍍层有損于鋼上光亮鉻鍍层的防护值，但在工业大气中对复制試樣所作的同样試驗却获得了剛好相反的結論。

5. 严重污染的工业大气会在試樣上沉积很多的烟灰，使得觀察烟灰下面的损坏发展情況产生困难。当此項烟灰积集到了一定程度时，将歪曲相当于正常使用情况的試驗条件，特别是在鍍层用作裝飾性的場合。

## 試樣的定級

在自然环境中进行的大多数試驗中，試樣的性能是由管理試驗的人或者由代表負責試驗計劃的某种委員會或其他組織的小組，以周期性的檢驗来确

定的。性能的定級极大多数根据外觀变化的肉眼觀察。这些变化的形成，可由于基体金属在鍍层孔隙或其他間斷处的腐蝕，也可由于鍍层本身的腐蝕或其他变化，如起泡、开裂或导致麻点、发黯、变色等的侵蝕。对于鉻鍍层之类主要用作裝飾性的鍍层，通常的定級办法是根据“有缺陷的”試片的暴露面积的百分比。此缺陷是指通过鍍层侵蝕到下面金属的那些破坏形式，例如被鍍鋼体上的锈蝕的外觀。另外，还必須有一种以鍍层本身的损坏情况为根据的定級法。也可再加上一种以两种定級的某种組合为基础的綜合定級法。

裝飾性鍍层上极小的缺陷面积也是不好的，在这种情况下，定級分度主要抓住了侵蝕的初始外觀。在分度的高值端，缺陷的分布面积百分比大大地少于低值端，后者在缺陷面积达 50% 时即为零。ASTM B-8 委員会所使用典型分度如表 2。

表 2 裝飾性鍍层的定級分度

定 級 号	缺 陷 面 积 百 分 比
10	0
9	0.00~0.10
8	0.10~0.25
7	0.25~0.50
6	0.50~1.0
5	1.0~2.5
4	2.5~5.0
3	5~10
2	10~25
1	25~50
0	50~100

要使以肉眼觀察为基础的定級完全客觀是困难的。不同的觀察者会对同样的疵病各取不同的重要性程度。在多少有些任意的对缺陷面积的估計中，也会有差别。图 2、3 能帮助对有大量缺陷的面积进行估計。ASTM 还采用了一种照相标准，是将具有不同损坏程度的典型試樣拍成照片，以“缺陷面积百分比”表示。这种照相标准比人工标准优越，因为容易将待定級的試樣外觀与相似的照片对比。但照相标准也有局限性。主要是鍍层损坏的形式很多，如麻点、起泡、裂紋、凹穴等等。这些形式可能由于鍍层性质的不同，也可能由于試驗大气的不同，或者两者的綜合所致。其結果，沒有一組照相标准能满足对比需要。简单的一組試樣照片不能給予沒有看見过試樣的人以可靠的印象，从而可判明在不同地点暴露的几种試樣看起来究竟有何相象，尽管它

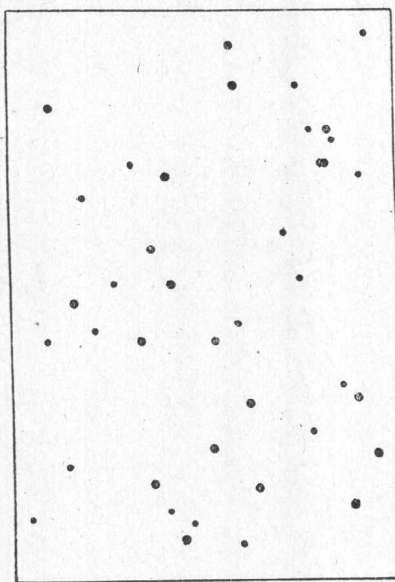


图 2 有 0.5% 缺陷面积的試片

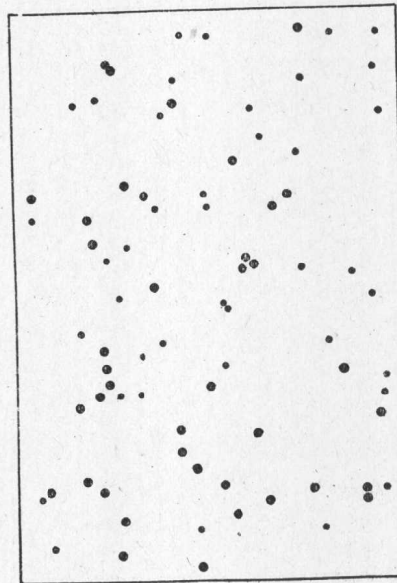


图 3 有 1.0% 缺陷面积的試片

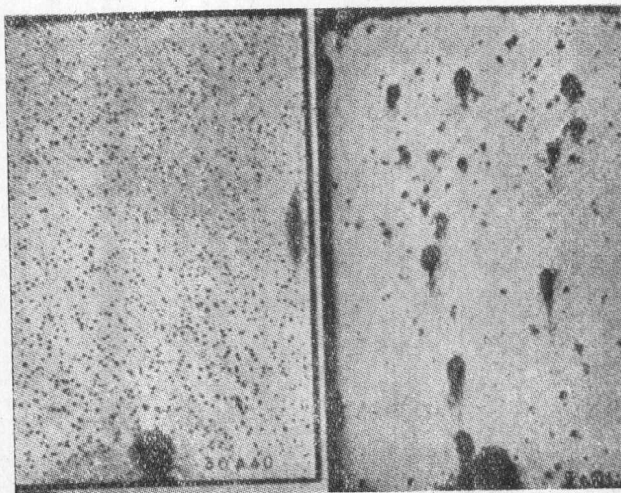


图 4 ASTM 定級 No. 3 照相标准。左面系在紐約暴露；  
右面系在 Kure Beach 暴露

的定級相同。由图 4 就可得到說明，图 4 系表明曾分別在 Kure Beach 和紐約暴露的鍍鉻鋼試樣，其缺陷面積百分比則是相同的。

在充滿烟灰的工业大气中对試样进行定級是困难的，因为积聚的污物会掩盖其間的差別。所以最好是暴露足够多的試样，如此則在每次檢驗时都可取出若干試样加以清洗而供定級之用。

如果試驗地点的腐蝕条件是逐年不变的，則适用于此处的特定鍍层(如鋼上鍍鉻)的一組照相标准有助于获得試样的客觀定級，而此項定級对于只

能从觀察報告以获得資料的人們将是十分有用的。

如果主要目的不在于外觀的保持，而在乎使底层金属免受腐蝕破坏的防护程度，則获得定量的結果是有可能的，方法是在不同暴露时间后将鍍层剝除以确定試样失重。

如前所述，电鍍試样上的缺陷可能有多种形式，而以受影响面積百分比表示的总缺陷范围則是几乎恒定的。用照相或其他标准来估計面積百分比虽能增高估計精确度，但不是經常能提供个别試片破坏形式的图象。特别是当这种形式与照相标准所用試

样上存在的破坏形式有很大不同的时候。报告中最包括有大量試样照片以能表明所有的形式及其破坏范围。由于这样不太现实，通常就在每种試片的定級数字以外，輔以破坏性质的簡略說明。簡略說明的符号已由 ASTM 在建立照相标准时就作了規定①。有經驗的檢驗人員能很快学会使用这些符号。专家們在閱讀報告时也易于解釋，从而对試片是什么样子能获得比只有定級数字时更为良好的印象。这种輔助資料，对于旨在通过消除破坏的特殊形式以改善鍍层的研究人員也是一种有价值的指導。

Carl Durbin 創制的一套定級标准，对于暴露于工业大气中的試样是特別有用的。这套标准对 ASTM 采用的九級“受腐蝕影响的面积”中的每一級都有六張图样。图样上把用来模拟腐蝕缺陷的小圆点的大小和多寡从“多而很小”到“较少而大”加以划分。这有利于对图中包括的各种大小缺陷，作出总缺陷面积百分比的精确估計。

自然环境試驗的局限性，推动了加速試驗发展。

### 加速試驗

正如前节所指出的，为了檢驗和质量控制以及为了加速研究工作，必須有一种能在几小时或几天內完成的試驗法，并且其作用須相当于鍍层在几个月或几年內的正常使用。

当量問題是关于鍍层加速試驗的大多数爭論的关键。某些加速試驗之所以不够滿意，是因为得出結果虽是快速的，但其結果却很少联系到鍍层在正常使用条件下的性能。由于人們只追求快速結果，此項試驗法仍在坚持使用。这些試驗的使用者在快速答案与正确答案之間实际上可能不致选择前者，但他們却仍然在繼續使用。

在加速試驗的設計問題上也許存在着过多的成見，以为必須模拟某些选定的自然环境。正确的模拟也許应有一定的限度，因为如果正确模拟真的达到了，就不会有加速，試驗的优点也消失了。在某些情况下，获得加速作用只是由于試驗中腐蝕条件的持久，而此項条件在实际中却有时是中断的。模拟自然环境的尝试开始于盐雾試驗，它是設計来再現近海的大气。但如果认为盐雾箱中的环境能接近于海岸大气，或者模拟很易于用改变盐水成分的办法来改变，就未免太乐观了。

海洋大气中腐蝕金属的液体很可能并不总是具有海水的成分。当金属表面离海較远时，到达其上

的盐必然是由空气流所輸送，而在空气流中很可能发生大量的蒸發作用。所以，金属表面碰到的腐蝕液体，从干燥的結晶盐粒到不同濃度的海盐溶液（从飽和盐水到极稀溶液）都有可能。因而沒有一种盐水濃度能够代表通常环境，相当于天然海水的盐水也可能与其他盐溶液一样是极少被碰到的。

May 和 Alexander 报道过大量金属和鍍层的試驗結果，表明了用天然和人工海水以及不同盐水的盐雾試驗，与海中实地試驗和在 Kure Beach 离海洋 80 到 800 尺的天然大气中試驗的比較情况。他們认为盐雾試驗不能模拟自然环境。

盐雾試驗的局限性和优点是很多爭論的主题，已有不少文献发表。

要創制一种能模拟工业大气的試驗法同样是困难的。人們能够制成順次由工业大气中各种主要的腐蝕性污物所組成的单一試驗溶液或其組合試驗溶液。但如同盐水噴霧的情况一样，問題在于所用每种腐蝕成分的合适濃度及其比例应是怎样的、沾湿烘干的合理時間間距和暴露于不同溶液的程序又是如何。接着的問題則在于試样沾到的腐蝕液体积。是否应当具备大气暴露中的薄膜特性，抑或試样可以浸入相当容积的腐蝕液中？对于从工业大气中以微粒形式（如碳）沉降出来的固体，应作何处理？这种微粒能通过电偶作用加速腐蝕，促进更具腐蝕性的化合物的生成，或者作为濃差电池作用的中心而促进点蝕（这种点蝕在不存在固体微粒的試驗环境中是不会发生的）。

鉴于这些問題和其他即使是不可量度的因素（如光的影响），較好的結論似乎是：模拟某种規定不严的环境（任何情况下不保持恒定）并不是鍍层所需的加速試驗的目标。

于是，問題在于什么是加速試驗所能够和应当做的？下述目的似乎是合理的。

#### 1. 漢定鍍层的連續性。

2. 反映鍍层的厚度、均匀性和防护值，办法是用系統的方法人为地制出孔隙和間断处，而其速度應該是能为各次試驗所复演，并能关联到具有广泛代表性的实际环境。

3. 觀察鍍层与基体金属之間、鍍层中的不同金属之間和鍍层金属与其可能接触的其他金属之間的电勢作用影响。

#### 4. 測量鍍层性质的改变对其在試驗中的耐久

① 見 Report of Committee B-8, Sub-Committee 11, Proc. Am. Soc. Testing. Mats. 49, 1949, p. 226

性的影响，并有可能将此耐久性联系到通常使用条件下的耐久性。

5. 模拟镀层在使用中所碰到的侵蚀形式，从而可通过改变镀层的办法来研究和消除它们。

下面是这些目的的具体说明。

#### 連續性

为了使加速试验能测定镀层的连续性或察知其存在的孔隙，必须能产生出基体金属腐蚀的可见迹象。试验环境还必须达到如下的要求：镀层对基体金属来说或是阴极性的，或是电中性的。阳极性镀层会对任何裸露着的基体金属产生阴极保护作用，因而会妨碍对孔隙或其他间断处的探测。为了正确区别原先存在的孔隙和试验时侵蚀所产生的孔隙，试验环境必须对基体金属是腐蚀性的，但不侵蚀镀层。后一种危险可用下列办法加以减小：使试验时间短到刚对裸露的基体金属有显著腐蚀而对镀层金属的侵蚀则尚未发生。

还必须使试验环境与试片的所有表面相接触。将试样完全浸入试验溶液，或把溶液喷射到所有表面上的办法均可达到此项目的目的。将试样暴露于静雾中（象在盐雾箱中）是不那么可靠的。由于冷凝的腐蚀性微粒一般是垂直地沉落下来，因而只能碰到上表面，所以不能显露出表面上处于被遮掩位置的间断处。

#### 厚度和均匀性

某些镀层受到试验环境的侵蚀是比较均匀的，大致上是暴露时间的直接函数。在这种情况下，完全剥除镀层所需的时间，即可作为衡量其厚度和分布状况的尺度。但这也会由于在细雾中暴露的位置影响而受到局限。

当主要的侵蚀是点蚀形式时，镀层厚度和穿孔时间之间存在着直接关系。结果是，蚀穿外表所需的时间，可用来作为能更直接地测量厚度的其他试验法的补充资料。

#### 电势作用

由于加速腐蚀试验所用的溶液可以导电，在镀层与基体金属之间和在镀层中的不同金属之间就能观察到电势作用。但是，其大小、分布甚至方向却可能与在自然环境中发生的截然不同。例如，铜与铅接触时，在乡村大气下能减缓铜的腐蚀，在工业大气下则加快铜的腐蚀，在海洋大气下却又没有显著影响。

在加速试验中能沾湿试片的液膜，其厚度和电导率可能大于在自然环境下凝结在金属表面上的湿

气膜。其结果，在加速试验中将会有比通常大气腐蚀暴露要大的表面面积参与到电偶电池中去。这种现象会导致一个极端，以为加速试验应将试样完全浸入在较大量的试验溶液中。显然，在研究电势作用的观察结果和应用此项结果以推断与试验环境不同的其他环境中的特性时，这种现象必须考虑在内。

在某些情况下，几种金属的可溶性腐蚀产物由于渗入和随后的电势作用，可能影响它们之间相互的腐蚀，例如腐蚀产物中铜对锌、铝、铁和镍腐蚀的影响。这一可能性，在加速试验的性质能允许此项腐蚀产物积聚到比实际使用中（即加速试验所针对的）大得多或小得多的情况下必须加以考虑。

由于这些复杂情况，加速试验中对电偶作用的观察决不会超过定性的程度。从这种试验中得出的任何结论，永远必须根据金属的电势关系的一般知识和电偶作用定律加以修正。

#### 镀层的耐久性

加速试验的一个通常目的是评价镀层的可能耐久性，特别是测定镀层的变化对其耐久性的影响。如前所述，自然环境的腐蚀作用（特别是在不同大气下）是非常复杂的，并随地点、时间而变化。因此，在加速试验所测定的耐久性与通常使用中的耐久性之间，不可能得出永远符合一致的关系。所能期望的是控制加速试验侵蚀镀层的状况，以致凡能使试验耐久性增大的镀层改变，也能使使用耐久性增大。在理想的情况下，试验所表明的改善程度，将可与实际使用中的改善程度相比拟。

由此可见，在将一种加速试验与另一种加速试验就它们对使用耐久性的可能关系进行比较时，必须比较试验环境的腐蚀率与自然环境的腐蚀率。根据这一点，表3所列的资料是有意义的。

从这些数据可以很明显地看出，常用盐雾试验所得的镍腐蚀的加速作用，不大可能比在工业大气甚至海洋环境中的为大。另一方面，二氧化硫试验却可以大大加速镍在含硫工业大气和海洋大气中的正常腐蚀。

不幸，表3没有铬的类似资料。但关于铬的耐腐蚀性能已有足够知识：铬耐亚硫酸和盐雾的能力要比耐硫酸或酸化的盐雾强，并且耐潮湿的二氧化硫（亚硫酸）的能力要比镍好得多。从这点可以合理地推断出：

1. 二氧化硫试验有利于测定镍上面铬镀层的连续性，但测定未达到连续性时的厚度则稍逊。还有利于测定镍镀层的厚度与连续性。

表3 鎳<sup>①</sup>在自然环境和加速試驗环境中  
的腐蝕速度

試驗环境	鎳的腐蝕速度	
	Mdd <sup>②</sup>	密爾/年
工业大气(紐約城), 20 年	0.89	0.15
海洋大气 (Kure Beach)	0.06	0.01
离海 800 呎, 15 年		
乡村大气(State College), 20 年	0.052	0.01
3% 盐雾試驗——7 天	1.6	0.27
20% 盐雾試驗——62 天	0.28	0.05
銅加速的醋酸盐雾(CASS) 試驗, 16 小时 <sup>③</sup>	17.5	2.8
二氧化硫試驗, 20 小时 <sup>④</sup>	2031.0	330.0
Corrodkote 試驗, 20 小时	44.0	7.4

① 軋制純鎳的試驗資料

② Mdd——毫克/分米<sup>2</sup>/天

③ 在 200 小時試驗中的腐蝕速度系同一數量級

④ 电沉积的鎳箔在同一試驗中暴露的腐蝕速度為  
280 密爾/年

2. 酸性盐雾試驗有利于测定鎔鎔层的連續性和厚度，而测定鎳鎔层的連續性則比測定其厚度优越。

3. 通常的盐雾試驗有利于测定鎔鎔层或鎔鎔层的連續性，并对厚度的影响不大敏感(除非已影响到連續性)。

B. B. Knapp 在关于鎳箔的試驗中将 20%\* 盐雾試驗 1500 小時的穿孔率，与在 Bayonne 的工业大气和 Kure Beach 离海 800 呎的海洋大气中的穿孔率进行了比較。結果如表 4。

表4 鎔鎔<sup>①</sup>的电沉积鎶箔( $1\frac{1}{4}$  密爾)  
的穿孔率

試驗环境	每平方吋的孔数
Bayonne 地方大气, $2\frac{1}{2}$ 年	1000
海洋大气, $2\frac{1}{2}$ 年	0.14
5% 盐雾, 1500 小時	0.16

① 鎔鎔电解液:  $\text{CrO}_3$  250 克/升,  $\text{SO}_4^{2-}$  2.5 克/升;  $113^{\circ}\text{F}$ , 1 安/吋<sup>2</sup>, 厚度 20 微吋。

很明显，中性盐雾試驗对于研究电鎔层的穿孔問題是沒有价值的，因为穿孔可以在工业大气中发生。从表 3 的失重資料可知，这个試驗只能将海洋大气中的点蝕速度获得中等的加速。其他加速試驗

中关于电沉积鎶层的相对穿孔率的类似資料，可能对分析此項加速試驗的結果会是有用的。

#### 侵蝕形式的復現

經常可以看到，由于加速試驗能很快地破坏鎶层，因而由外觀所反映出来的侵蝕的性质或分布就与实际使用中所遇到的迥然不同。所以，人們不能肯定：在試驗中能使性能改善的鎶层改变，是否会使实际使用中的性能获得同样的改善。同时，由于这种試驗中的侵蝕机理与实际使用中的侵蝕机理有很大的不同，加速試驗对于有系統地研究鎶层如何损坏就不是一个好办法。因而这样一种試驗可能延缓寻找使用性能改善的正确根据的进度。最好把注意力集中于在加速試驗中复現侵蝕的形式，这比企图在加速試驗中获得鎶层的破坏要好。复現侵蝕形式的一个成功的典型例子是 Nixon 的关于鋅压鑄件上鎳和鎔鎔层的酸化盐雾試驗的研究。

这个例子值得引起人們注意这样的可能性：对于旨在改善鎶层的研究工作來說，能复現侵蝕(这是期望在使用中不出現的)的性质和形式的加速試驗，将可證明是比能快速破坏鎶层而不管发生的侵蝕形式是如何的那种加速試驗要有价值得多。

#### 研究工作中的腐蝕試驗

下面所述的腐蝕試驗的各种类型，是主要用来研究腐蝕机理——决定鎶层何以具有此种品性的。大多数試驗都包括了电化学过程中电流和电位的测定，这种电化学过程是随着鎶层的腐蝕或鎶层和基体金属組合的腐蝕而发生的。

由于鎶层使用环境的化学性质很难精确复制，通常方法就依靠在多少有些任意选定的环境中进行电位测定，以确定在可能涉及的几組金属之間的电势关系。在电化学家用作电势序根据的电位的测定溶液中，鎔过的金属是很少被使用的。所以，标准电极电位对于預測通常暴露环境中可能存在的电位差的大小或方向來說，其价值是很有限的。可以根据在不同溶液(如海水或純食盐溶液)中的电位测定或对不同金属偶合中电偶作用方向的觀察結果，把各种金属排成一定的电势序。这一电势序将可合理地指示出鎶层在实际使用中会形成的电位差的可能方向(如果不是其大小的話)。

通过参考实际电势序中金属的排列順序，或者在特殊使用环境中經過專門的测定，是有可能确定电偶作用的方向。但这一点仅仅是引向估計电偶作

\* 原文如此，与表 4 不符——譯者注

用的大小(这可能是鍍层性能的一个重要因素)的开端。最重要的是一对或多对电偶所产生的电流的大小。应当进一步确定它与全部电流以及参与电偶电池的阳极和阴极上的电流密度的关系。这就把阳极和阴极的相对面积大小也牵涉在内了。电流还可能受到电流通过腐蚀液、固体腐蚀产物、其他膜层和金属本身时所經過的不同途径的电阻的影响。最后，电偶电流的有效电动势将不会是在开路上测出的电位差，而是由电池的阳极和阴极的极化作用所造成的較小电位差。这种极化作用的大小范围，决定于环境的性质、与极化特性有关的金属的性质以及阳极和阴极的电流密度。这些因素又不仅可能受到偶合金属的相对面积的影响，还可能受到电解液的电导率的影响。这样就能决定有效地参与电偶作用的金属的面积。把試样浸入高度导电的电解液中所得的試驗結果应用來估計在大气中会发生什么的时候，这个因素必須加以考虑。其时，由于組成电解液的薄膜的电导率較差，可能限制阳极和阴极的有效面积距离不同金属的接触綫不超过四分之一吋。

Wesley 用食盐溶液中鉄和銅的电势关系，表明了电位差、电阻和极化現象对确定电偶作用大小的重要性。在此以前，Hoar 特別研究过极化作用和电阻的理論影响。

Petrocelli 等都會根据“混合电位”的概念对极化現象进行了具体和广泛的研究。

电化学方法还有助于研究鍍层的点触倾向。关于不鏽鋼点触倾向的研究已有不少报道。

电化学測量法还能用来估計鍍层的孔隙范围，如 Hoar 等所提出的。并能用来比較金属制备和电鍍条件的影响。

除了电化学試驗法外，在研究鍍层的品性方面还可应用其他的腐蚀試驗法。某些方法不存在由基体金属腐蚀和基体金属腐蚀产物等作用所引起的复杂化。試驗可在剥去鍍层的金属(如不鏽鋼)試样上进行。腐蚀暴露本身可以处在自然环境中。并可使用某些特殊环境以揭示不同鍍层試样的品性差别，例如暴露在腐蚀性液体或蒸汽中。

从自然环境試驗和加速試驗結果的仔細觀察和分析中能获得很多知識。但可以断定，若加倍重視科学的試驗法，从而增加鍍层品性方面的知識，諸如何以鍍层具有如此品性、鍍层的組成与其他特性如何改变才有助于鍍层的改善等等，則可加速推动鍍层防护值的改进。

孙旭輝节譯

自 «46 th Annual Tech. Proc. AES» (1959)

# 电镀技术中的几种腐蚀試驗方法

[西德] K. Müller

近年来，人们对电沉积层的质量要求愈来愈高。随着电镀知識的逐日增进，电沉积层已能卓有成效地防护基体不受机械的特別是化学的侵蝕作用。随着进一步工业化，和以此所带来的侵蝕性蒸汽的形成，以及馬路上抗冻撒盐的普遍加强，腐蝕影响逐日严重，在这种情况下，抗腐蝕的意义更为重要。这都促使电镀技术进一步来滿足鍍层的实用要求。努力改善电沉积层的耐腐蝕性能不論在理論上抑或实践上都会带来显著的成效。其結果必然会使旧有方法淘汰和发展出测定鍍件腐蝕性能的新方法。

腐蝕試驗方法的基本要求是，迅速鉴别沉积层的缺陷，对預計寿命帶有某种程度的可靠性。对用户來說，也有可能对鍍件质量得到保証。

根据腐蝕試驗时间可划分为短期試驗和长期試驗。

短期試驗时，腐蝕人为加速，引起腐蝕变化。这个方法的主要用途，是在尽可能短促的时间內发现鍍层的显眼的缺陷，如針孔、裂紋、鍍层过薄等以及制造誤差。短期腐蝕試驗时间为数小时或数天。

短期試驗中的腐蝕效果只不过是很粗略的摹拟，但在长期試驗的方法时就可求得实践中腐蝕实况的逼真的印象。所以，长期試驗的时间必然漫长，根据不同的影响程度竟有数季之差。局部的不同的气候对腐蝕的影响也可以通过試驗場所的相应选择加以推定。

本文准备就当前电镀技术中几种常用的腐蝕試驗方法加以叙述，并研討其結果，指出其优缺点。

## 盐水噴霧試驗

盐水噴霧試驗問世于1914年，可以說是一种最老的腐蝕試驗方法。有人认为这种方法摹拟了海洋大气的作用。但是，业已肯定，腐蝕試驗的結果与实际使用状况不大相符。

在盐水噴霧試驗时，試样悬挂于一只密封箱内，与垂直平面成 $15^{\circ} \sim 30^{\circ}$ 傾斜。每立方米試驗空間用30毫升的3%氯化鈉溶液，以純淨压缩空气噴入此密封箱(每隔一小时噴1分钟左右)。这时盐雾細蒙，迄至下一次噴霧(一小时后)。

西德采用的是3%氯化鈉溶液，并在室温下噴霧。美国用的是20%(近来改用5%)的氯化鈉溶液在 $35^{\circ}\text{C}$ 时噴霧。濃度低的溶液的侵蝕性要比濃度高的为大。侵蝕主要是空气中的氧引起的，所以稀溶液中所含的氧比濃溶液中所含的氧为高。溶液由純

氯化鈉和蒸餾水配成。杂质尤其是金属杂质会影响腐蝕結果。光从这一点看，溶液也只准应用一次。

盐水噴霧的腐蝕結果取决于很多因素。除了方式、濃度及溶液的pH值外，所采用仪器的种类和試样悬挂方式尤为重要。試驗箱一般由玻璃、安全玻璃、粘合硬橡胶的鋼、鋁和莫涅耳合金(鎳70~75%，銅30~25%——譯者注)制成。盛于下面容器的溶液由轉子吸上，并有規律地被噴入右角的安全玻璃箱(上面)。噴霧時間、中断時間和溫度皆能自動調節。

还有其他各种不同的实施方法。但是，所有各种实施仪器基本上都有傾斜的頂蓋，这样可以避免雾滴直接滴在試样上。

凡是試样接触溶液最好的地方，往往也是受腐蝕最强烈的地方。例如平面試样，其上面所受到的腐蝕往往要比試样下面的更为强烈。从断面图看，

其腐蚀程度有显著的差别。例如在积聚溶液的深窝处所发生的侵蝕更为强烈。这时最好插入滤纸。为了达到相同的要求，推荐試样作不断轉輾悬挂。

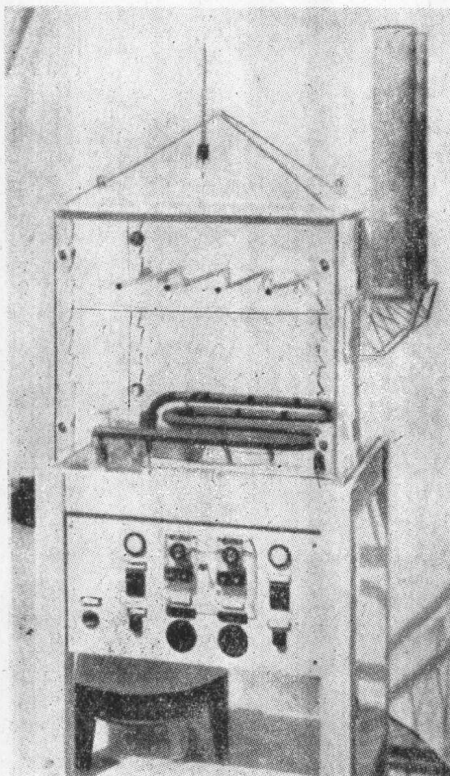


图1 实施盐水噴雾法的气溶胶仪  
(由 Daldrop 公司和 Huber K. G. 供稿)

經過一定時間噴霧后即由箱內取出試樣，中斷噴霧，干燥，判断。腐蝕类型与所用金属有关。

盐水噴雾法目前主要用来試驗輕金属，以求得沉积层的孔隙率。例如厚 12 微米的鋅鍍层需噴霧 96 小时。但錫鍍层通常只需 24 小时。对于汽車制造业中所用总厚度 36 微米或 48 微米的銅-鎳-鉻鍍层則要求 144 或 192 小时。作为短期試驗來說，这段時間已經是很長的了。此外，盐水噴霧所得結果的差异很大，难于再現。由于这个原因，鎳-鉻鍍层几乎还不采用盐水噴雾法，对諸如此类組合的鍍层应采用更佳的方法。

对在各实验室进行試驗缺乏可比性的不断抱怨所引起的深入研究指出，由于盐水噴霧的变化多端，因而不可能获得可再現性的結果。实际使用情况通过此法也只能达到不良的摹拟。例如，对鎳鍍层可以提供几个粗略锈斑，但在城市空气的风蝕则可提供許多細致锈点。如鎘在工业大气的侵蝕的程度二

倍于鋅，但盐水噴霧所得結果适得其反。

盐水噴霧試驗主要用途是：揭示电沉积层的粗略缺陷和处理缺陷，以及对某些材料(如經表面处理的鋁合金)的性能加以比較。在盐水噴霧箱內已失灵的鍍层，在露天风蝕时大多早就剥落了。反之，在盐水噴霧箱有良好稳定性的，实际上也并不一定有良好的耐腐蝕性能。所以，在等效条件下由实践經驗来求腐蝕性能的关系时，盐水噴霧試驗方法只能作为腐蝕試样来应用。

### CASS 試驗

CASS 試驗(即氯化銅改良的醋酸盐水噴霧)是通常盐水噴霧試驗法的演进。在盐水噴霧溶液中額外添加氯化銅和醋酸，可使出現腐蝕的时刻較之單純的盐水噴霧試驗縮短了八分之一。

CASS 溶液的成分如下：

氯化鈉  $\text{NaCl}$  50 克/升

氯化銅  $\text{CuCl}_2 \cdot 2\text{H}_2\text{O}$  0.3 克/升

pH=3.0~3.2，用醋酸調配

CASS 試驗的实施方法与盐水噴霧法相同。溶液以 105 公斤/分米<sup>2</sup>的压力噴入箱温  $50 \pm 1^\circ\text{C}$  的箱內。

CASS 試驗法主要被用来試驗鍍鉻的鋼、鋅压鑄件以及經表面处理的鋁。根据粗略估計，在 CASS 溶液中能够維持 16 小时的鍍件在城市气候条件下起碼可維持一年时间。誠然，与盐水噴霧試驗一样，CASS 試驗也有类似的不良再現性，有待进一步改善。

美国把 CASS 試驗法用作驗收試驗的兴趣正与日俱增；但在西德却很少采用。

### Kesternich 試驗

在大都市和工业地区里，空气中沾染着侵蝕金属的化合物——二氧化硫 ( $\text{SO}_2$ )。为了对付这种工业大气的影响，有人早就提出采用这种化合物的腐蝕試驗。W. Kesternich 把二氧化硫的作用与反应沾湿的情况 (Wechselbetauung) 联系在一起，并提出了符合工业大气要求的仪器。所以，此种 Kesternich 法也称工业大气試驗，二氧化硫試驗或  $\text{SO}_2-\text{CO}_2$  試驗法。

图 2 所示为 Kesternich 仪，牌名是“Testor”。

仪器有一个外部裹以鉛或塑料的底盤，其上放置玻璃罩，可以拉起。測試零件通常被挂于耐腐蝕的格架(玻璃棒)上。試驗箱容积約 300 升。試驗开

始时，底盤盛有高度为一厘米的水，挂妥試样，合上玻璃罩。之后，由仪器以2升SO<sub>2</sub>和CO<sub>2</sub>导入試驗箱，并由可以电热的底盤迅速加热至40°C。用接触式温度計使此温度恒定，历时八小时。然后停止加热，拉上玻璃罩，試样在室温下保持一天又十六小时。如此謂一循环。每一循环后更水，导入新鮮气体。仪器內的相对大气湿度在結露时为100%，在标准气候时为65%。美国的工作条件略有变化。

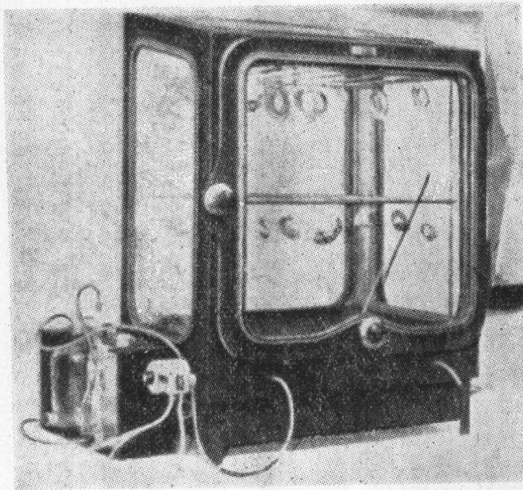


图2 Kesternich 腐蝕試驗仪器

对SO<sub>2</sub>-CO<sub>2</sub>的要求异常严格，因为在Kesternich仪器中的濃度是2升比300升，約大于魯尔区工业大气的 $1\sim 3 \times 10^4$ 。

Kesternich仪器主要用途乃是鉴别鎔沉积层的缺陷，因为鎔不存在鎔所存在的缺陷，因而鎔受二氧化硫侵蝕非常强烈。由于这个原因，故此法主要用于镀鎔镀鎔零件。此法不能很好摹拟工业大气作用下的实际腐蝕性能。如若工作条件掌握得比較精确，一般說可以获得良好再現数值。

Kesternich試驗目前用得很多。标准規程正在制訂。

### Corrodkote 試驗

Corrodkote試驗是最新的方法。此法主要是摹拟了汽車镀鎔零件的实际使用要求。其試驗原理是把待試驗零件置于“人造街道汚物”中。根据最新工艺，此种街道汚物由下列成分制成。

#### (1) 溶液的配制

常常在500毫升水中溶入2.50克硝酸銅Cu(NO<sub>3</sub>)<sub>2</sub>·3H<sub>2</sub>O；2.50克三氯化鐵FeCl<sub>3</sub>·6H<sub>2</sub>O和50.0克氯化銨NH<sub>4</sub>Cl。这个基本溶液可貯放二个

星期。

#### (2) Corrodkote膏浆的配制

在250毫升的燒杯中放入7.0毫升硝酸銅，33.0毫升的三氯化鐵溶液和10.0毫升氯化銨溶液。再加入30克高岭土。然后用玻璃棒攪拌，至膏浆均匀适度为止。这种膏浆每天應該重新制备。具有下列成分：

硝酸銅	0.035克
三氯化鐵	0.165克
氯化銨	1.0克
高岭土	30克
水	50克

#### (3) 試驗

用一把圆形刷子把膏浆涂抹在測試零件上，同一方向均匀分布。当此涂层干燥后(約需一小时后)，把試样放入潮湿貯器內，膏浆在此虽已潮湿，但涂层并不因此拭去。

研究可以在20小时后进行。就鋅压鑄件而論，应先冲去膏浆，然后用海綿拭去。但对于鋼零件，首先应計算锈点，拭去膏浆，然后把零件再次放入潮湿貯器內。Corrodkote試驗能很好地摹拟实际使用要求。美国資料指出，Corrodkote試驗的腐蝕状况与在底特律大气下的腐蝕状况一致，系数为0.930。镀鎔汽車零件經過20小时的Corrodkote暴露試驗，几乎完全等于在底特律使用一年后的腐蝕状况。此法的重要优点在于試驗時間短，簡便易行。

Corrodkote試驗在西德汽車工业也贏得了日益重要的地位，主要被用来試驗鋼件上的銅-光亮鎔-鎔镀层和鋅压鑄件上的双层鎔镀层。用网格进行镀层評定，以便确定全面腐蝕和局部腐蝕。此法标准目前正在制訂。

### 锈斑指示試驗

锈斑指示試驗系由試驗鎔的孔隙而发展成一种短暫試驗方法。

人們使用了蘸有3%氯化鈉和1%氰鉻化鉀溶液的滤紙。此滤紙每次以10分钟(六次)貼到試驗鎔件上。一小时后，则得不同金属侵蝕方式的不同色澤的腐蝕产物。

鎔零件中最早发展的是鎔中的缺陷。首先要知到通达鎔的缺陷，之后是不完全通达的缺陷。通达鎔镀层时的色澤是黃棕色斑，通达鋼基体时的色澤是深藍色的。由色澤和腐蝕數皆可求得鎔层的质量。锈斑指示腐蝕試驗必須考慮到腐蝕孔隙內的电

化学条件。

根据目前已有的经验，锈斑指示试验法已引起了大家的重视。

### 长期试验法

由于长期试验模拟了现实生活中的尽可能的相似条件，而且必须有较长的测量试验条件，因此，可以从这个结果中断定使用寿命。

表1收集了各种等效条件。长期试验时，试样被放置于露天的特制框架上。

表1 长期试验等效条件

(根据 A. Kutzelnigg)

大 气 类 型	条 件
农村大气	基本上无沾污物
城市大气	被二氧化硫、灰尘、煤烟沾污
工业大气	与城市大气同，然沾污物更为严重，有时外加化学作用影响
海洋大气	无尘，因而日光强烈，湿度高，海水滴
受海洋影响的城市或工业大气	由于湿度高、海水水滴影响加强了城市或工业大气沾污物的作用
潮湿热带大气	湿度和温度较高，强烈结露
热带海洋大气	由于温度高，加强了海洋大气影响
受工业大气影响的潮湿热带大气	由于二氧化硫的影响，加强了在高温时高湿度的作用

图3系美国的大气暴露装置。金属板有在不同条件下镀覆的有用镀层。采用此法同时可求得抑制腐蚀的最佳条件。图4为西德的大气暴露装置，直接采用汽车轮圈作为试样。试验方式酷似实践情况；同时也允许把电路接到镀层分布面上。

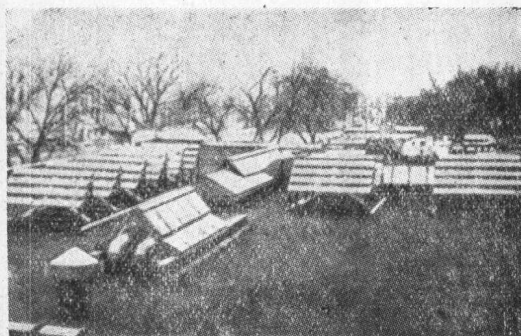


图3 美国大气暴露装置  
(据 W. Metzger)

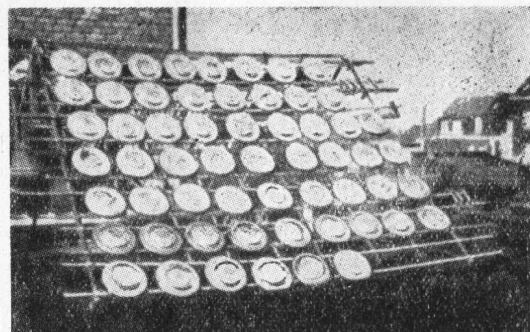


图4 西德大气暴露装置

(据 W. Metzger)

除了这种静止的长期试验外，还有——主要是在美国——汽车运转试验。例如把试片固定在汽车保险杠上。这样，所有实际应用中的影响（如抗冻盐、汽车洗涤物等）均直接作用在试片上。

长期试验一般均长达2年以上的时期。在这个时期内必须定期检查试样，并记录其结果。

尽管长期试验需要很长的试验时间，但是，为获得实际腐蚀状况的尽可能精确的图纹以及短期试验结果加以比较的可能，长期试验方法还是很必要的。

### 结 束 語

由短期试验所得腐蚀图纹应该和实际使用或长期试验图案相符合。但是，直到今天，这个目的并未完全实现。短期试验可以对镀件质量提供一定保证。对不同产品和镀层的比较评定，可以精确地再现腐蚀过程和腐蚀图纹。由于这个原因，短期试验不仅可以求得腐蚀的强度，而且也可求得侵蚀的方式和形状。

西德主要是应用了 Kesternich 试验，Corrod-kote 试验和锈斑指示试验。长期试验已经过时。

腐蚀试验中的特殊问题是对待试样的评定。这里基本上有两种可能性。如磨蚀量为均匀磨蚀，则可作为腐蚀的量来计算。由此算出腐蚀速度，如微米/年。但是，由于磨蚀量很小，故而常常根据试样的外观来加以评定。分级是独特的，因而也是困难的。

表2 CASS 试验腐蚀定级

腐 蚀 数	总面積的侵蝕率, %
5	无侵蝕, 0
4	輕微侵蝕, 小于 10
3	輕度侵蝕, 10~30
2	強烈侵蝕, 30~70
1	严重侵蝕, 大于 70

表 2 系 CASS 試驗的定級制度。銹蝕、氣泡和裂紋均視為鍍層的缺陷。

腐蝕定級或多或少是凭經驗数据的。

目前正致力于通过腐蝕試驗的標準化來制訂統

一的条件，这样就有可能进行比較。在这方面汽車工业是非常活跃的。表 3 汇集了目前通用的鍍層厚度、試驗方法和試驗時間。

表 3 汽車零件的鍍層厚度、腐蝕試驗方法和所需的試驗時間總括(据 W. Katz)

	基 体 材 料	鍍 层 厚 度, 微 米				試 驗 方 法	試 驗 时 间	备 注
		Cu	Ni 无光	Ni 光亮	Cr			
汽 車 零 件	A 鋼	20 (抛光)	—	~20	0.8~1.3	SO <sub>2</sub> +CO <sub>2</sub> 銹斑指示	6 个循环 6×10 分钟	双鍍层 用子鋅
	B 鋼	20	—	25	0.3~0.6	5% NaCl	144 小时, 35°C	1962 年起
	C 鋼	20	—	25	0.3	Corrodkote	16 小时	Cu, 抛光
零 件	D 鋼	~20	—	~28	0.3	SO <sub>2</sub> +CO <sub>2</sub>	6 个循环	1961 年中起
	D 鋼	—	32	16	0.3			
	D 黃銅	—	—	14	0.3			
附 件	E 鋼	~20	—	~15	0.3	SO <sub>2</sub> +CO <sub>2</sub> Corrodkote	6 个循环 16 小时	
	F 鋼	20	—	20	0.5	SO <sub>2</sub> +CO <sub>2</sub>	6 个循环	
附 件	a 鋅	15~20	—	25	0.6~0.7	SO <sub>2</sub> +CO <sub>2</sub>	6 个循环 F、A	
	a 鋅	15~20	16	9	0.6~0.7	銹斑指示	6×10 分钟 F、A	1961 年秋起
	a 黃銅	—	—	12	无裂紋	Corrodkote	16 小时 F、B	
附 件	b 鋅	12~16	—	16		3% NaCl F、B	144 小时, 35°C	
	b 鋅	16	12	6	0.5	銹斑指示	6×10 分钟	F、A, 1961 年 4 月起
	b 鋅	~10	18	7	(0.8~	SO <sub>2</sub> +CO <sub>2</sub>	6 个循环	F、A 和 D, 1961 年 4 月起
	b 鋅	24	—	15	1.8 F、A)	5% NaCl	144 小时	用子国外
	b 黃銅	—	—	18		Corrodkote	16 小时	用于 O
件	c 鋅	15~20	—	25~30	0.8~1.2 (A) 0.6 (B、C)	SO <sub>2</sub> +CO <sub>2</sub> F、A、D 銹斑指示	6 个循环 16 小时	用于 A
	c 鋅	15	10	20	—	—	—	1961 年秋起
d	鋅	20	—	24	0.3	SO <sub>2</sub> +CO <sub>2</sub>	6 个循环	

徐成光譯

自 «Draht» Jg. 13, Nr. 11 (1962)